# ВЗАИМОСВЯЗЬ НАВОДОРОЖИВАНИЯ И СТРУКТУРЫ НИКЕЛЕВЫХ ПЛЁНОК

## Звягинцева А.В., Кравцова Ю.Г.\*

Воронежский государственный технический университет ул. Московский пр.,14, Воронеж, 394026, Россия \*E-mail: ushka2004@list.ru

### Введение

Гальванические никелевые плёнки толщиной 3—8 мкм нашли применение в технологиях радиоэлектронной промышленности и приборостроении. Особенностями электрохимического метода получения покрытий на основе никеля являются высокая структурная чувствительность и зависимость свойств от химического состава электролита и режимов электролиза [1, 2, 3]. В связи с этим целью настоящей работы стало изучение влияния режимов электроосаждения на структуру и наводороживание никелевых плёнок толщиной до 4 мкм, полученных из сульфаматного электролита [4].

Для определения структуры осадков Ni использовались образцы толщиной 500 – 1000 Å на медной подложке. По фотографиям (увеличение 82000) микроструктур никелевых осадков рассчитывался размер зерна и были построены гистограммы, характеризующие распределение зёрен по размеру. Величина микронапряжений и размер блоков мозаики определяли по линиям (111) а и (200) а. Количественная величина пористости представлена в виде поверхностей пористости (n) - числа пор, приходящихся на 1 см<sup>2</sup> гальванического покрытия [5]. Наводороживание ( $V_{H2}$ , см<sup>3</sup>/ 100 г) определяли методом вакуумной экстракции [6]. Диапазон режимов электролиза: температура t = 30 - 50 °C; кислотность среды pH = 3,5 – 4,5.

### Результаты и обсуждение

Результаты исследования представлены на рис. 1, 2, 3. На рис. 1 изображена гистограмма распределения зёрен по размеру от их количества для никелевой плёнки, полученной при  $t = 40\,^{0}$ С. Можно сделать вывод о том, что в данном режиме преобладающее количество зёрен (68 %) находятся в пределах размеров от 0 до 400 Å, и полученную структуру можно отнести к мелкозернистой, а форму зёрен к равноосной.

Влияние температуры электролита на структуру никелевых плёнок можно проследить из сравнения рис. 1 и рис. 2, 3. Понижение температуры электролита до 30 °C приводит к изменению вида гистограммы. При низкой температуре максимумы сдвигаются вправо, и наблюдается значительная дисперсия зерна по размеру.

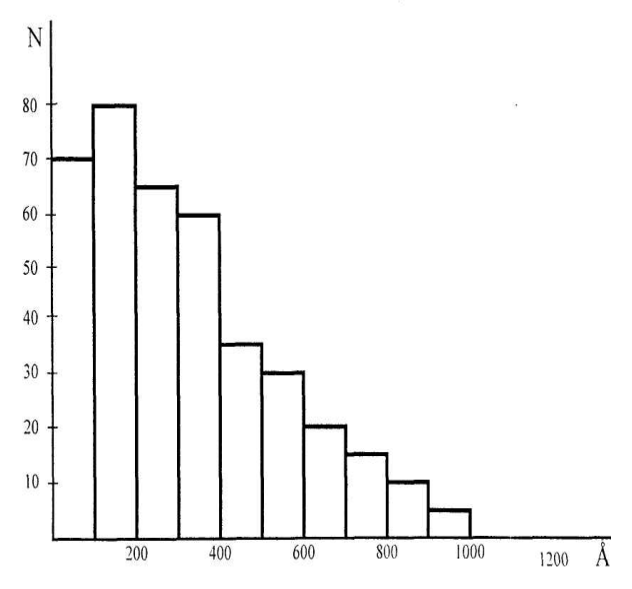


Рис. 1. Гистограмма распределения зерен по размеру для никелевой пленки.

Режимы электролиза:  $i_k = 2A/дм^2$ ; pH = 4,0; t = 40 °C

Число мелких зёрен диаметром 100-400~Å составляет  $\sim 66~\%$ , средних – от  $400~\text{до}~800~\text{Å}\sim 40~\%$  и крупных с диаметром более  $800~\text{Å}\sim 13~\%$  от общего числа зёрен. Это свидетельствует о формировании неравнозернистой структуры. При повышении температуры электролита до  $50~^{\circ}\text{C}$  происходит выравнивание размера зерна (рис. 3). Уменьшается доля мелких зёрен с размером до  $400~\text{Å}~(\sim 60~\%)$  и увеличивается число зёрен с размером  $800-1000~\text{Å}~(\sim 15~\%)$ . Начиная с температуры электролита  $40~^{\circ}\text{C}$ , исчезают крупные кристаллиты с размером более 1000~Å~(рис.~1,3).

Интересно влияние температуры электролита на микроискажения и дисперсность блоков мозаики никелевых плёнок. При снижении t от 40 до 30  $^{0}$ С уменьшаются величина микроискажений и размер блоков мозаики  $D_{HKL}$ . Это, по-видимому, связано с тем, что при низких температурах выделение водорода происходит интенсивнее, а поскольку одновременно протекает осаждение никеля, то образуется множество пор, несплошностей, макродефектов. Именно возникновение пор и дефектов приводит к частичной релаксации микроискажений в покрытии. Повышение температуры электролита

от 30 до 40  $^{0}$ С вызывает формирование плёнки с меньшей пористостью, от 17,2 до 10,4. Дело в том, что при высоких концентрациях сульфамата никеля (Ni(NH<sub>2</sub>SO<sub>3</sub>)<sub>2</sub> • 4 H<sub>2</sub>O),  $\sim$  500 г/л, понижение температуры электролита увеличивает его вязкость, которая затрудняет отвод молекулярного водорода с поверхности осадка, и пористость покрытия возрастает. Получено, что наибольшее содержание водорода (V<sub>H2</sub>) при  $t=30^{0}$ С составляет 117 см $^{3}$ / 100 г.

Изменение содержания водорода в никелевом покрытии в зависимости от температуры представлено в таблице.

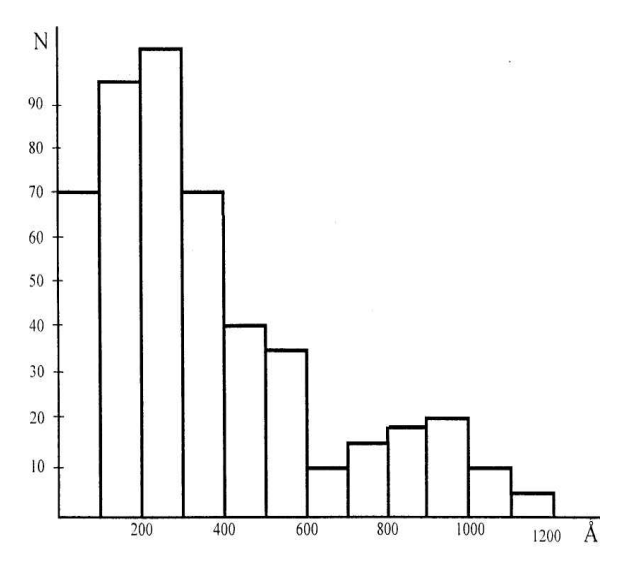


Рис. 2. Гистограмма распределения зерен по размеру для никелевой пленки. Режимы электролиза:

t = 30 °C;  $i_K = 2 \text{ A/дм}^2$ ; pH = 4,0

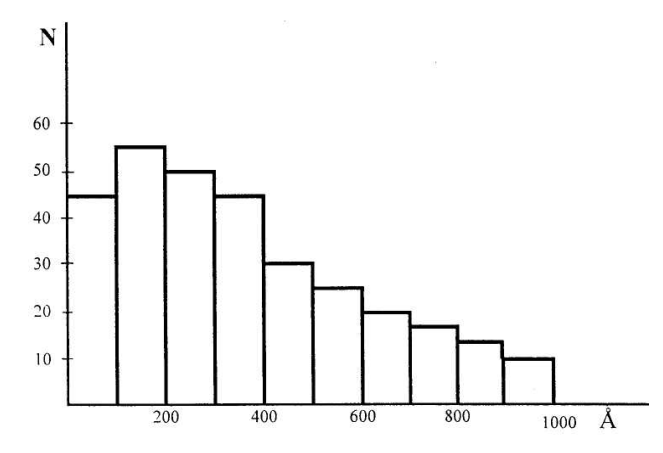


Рис. 3. Гистограмма распределения зерен по размеру для никелевой пленки. Режимы электролиза:

$$t = 50$$
 °C;  $i_K = 2 \text{ A/дм}^2$ ; pH = 4,0

Таблипа

Влияние температуры электролита на пористость и наводороживание никелевых плёнок (толщина покрытия d = 4 мкм).

Режимы электролиза: pH = 4.0;  $i_k = 2 \text{ A/дм}^2$ 

t, °C	Пористость n, пор/см <sup>2</sup>	Наводороживание $V_{H2}$ , $cm^3/100 \ \Gamma$
30	17,2	117
40	10,4	104
50	11,1	88,4

#### Выводы

Покрытия, полученные в режиме электроосаждения:  $i_k = 2 \text{ A/дм}^2$ , pH = 4,0,  $t = 40 \, ^{0}\text{C}$ , характеризуются меньшей дефектностью и пористостью, большим размером блоков мозаики, что приводит к росту микроискажений и формированию более напряжённого покрытия. Напряжённость и  $D_{HKL}$  покрытий, осаждённых при данном режиме, наибольшие.

Увеличение t от 40 до 50  $^{\circ}$ С вызывает сокращение числа пор и уменьшение содержания водорода в никелевом осадке. При t = 50  $^{\circ}$ С V<sub>H2</sub> = 88,4 см<sup>3</sup>/ 100 г. С повышением t до 50  $^{\circ}$ С микроискажения кристаллической решётки снижаются. Вместе с тем снижение количества выделяющегося на катоде водорода приводит к уменьшению блокировки активных центров кристаллизации, в результате чего их число возрастает, а структура осадка становится более равнозернистой. Покрытие формируется менее напряжённым.

Повышение температуры электролита уменьшает его вязкость. Тем самым облегчается десорбция водорода с поверхности катода, и снижается пористость покрытия.

#### Литература

- 1. Садаков Г.А. Гальванопластика. М.: Машиностроение, 1987. 288 с.
- 2. Поветкин В.В. Структура электролитических покрытий / В.В. Поветкин, И.М. Ковенский. М.: Металлургия, 1989. 136 с.
- 3. Hammond R.A.F. // Metal finishing Journal. 1970. Vol. 16, № 188. P. 234 243.
- 4. Звягинцева А.В. Сравнительная характеристика наводораживания никелевых и никельбор плёнок, полученных электролитическим способом/ А.В. Звягинцева, Ю.Г. Кравцова// Водородная обработка материалов: Тез. докл. четв. Междунар. конф. ВОМ-2004. Донецк, 2004. С. 415 420.
- 5. Горелик С.С., Скаков Ю.А., Расторгуев Л.Н. Рентгенографический и электронооптический анализ. М.: МИСИС, 1994. 327 с.